

شناسایی آنتی ژن‌های پیکره مایکوباکتریوم آویوم تحت گونه پاراتوبرکلوزیس

رسول مدنی^{۱*} شبنم آزاده^۲ نادر مصویری^۳ مصطفی جعفرپور^۴ فریبا گلچین فر^۱ تارا امامی^۱ روح الله کشاورز^۳

(۱) بخش بیوشیمی و پرتوشیمیکس، موسسه تحقیقات واکسن و سرم سازی رازی، کرج- ایران.

(۲) گروه میکروبیولوژی، دانشگاه آزاد اسلامی واحد تنکابن، مازندران- ایران.

(۳) بخش تبرکولین، موسسه تحقیقات واکسن و سرم سازی رازی، کرج- ایران.

(دریافت مقاله: ۲۷ بهمن ماه ۱۳۹۰ ، پذیرش نهایی: ۱۸ اردیبهشت ماه ۱۳۹۱)

چکیده

زمینه مطالعه: بیماری یون یا پاراتوبرکلوزیس نوعی آنترتیت گرانولوماتوزی مزمن درنشخوارکنندگان با عامل مسبب مایکوباکتریوم آویوم تحت گونه پاراتوبرکلوزیس (MAP) است. به نظر می‌رسد شناسایی آنتی ژن‌های پیکره‌ای این باکتری می‌تواند جهت طراحی واکسن، تشخیص بیماری و مطالعه پاتوژن‌زایین بیماری مفید باشد. **هدف:** شناسایی پروتئین‌های پیکره‌ای باکتری به عنوان آنتی ژن اصلی جهت شناخت بهتر عملکرد باکتری حائز اهمیت است. **روش کار:** در این تحقیق از سویه استاندارد V-III مایکوباکتریوم آویوم تحت گونه پاراتوبرکلوزیس (MAP) نمونه حاصل از کشت میکروبی پس از استخراج DNA و انجام عملیات PCR جهت ثبت و تأیید باکتری روی ژل آگارز بزرده شد و میزان پروتئین‌های تصفیه شده در مایه صاف شده حاصل از محیط کشت میکروبی و همچنین عصاره باکتریایی تعیین مقدار گردیدند. از سوی دیگر الگوی پروتئین‌های حاصله با استفاده از SDS-PAGE مورد مطالعه قرار گرفت. **نتایج:** الکتروفورز حکایت از حضور آنتی ژن‌های پروتئین در محدوده وزن ملکولی ۱۰۰-۱۹۶ KDa دارد. **نتیجه‌گیری نهایی:** آنتی ژن‌های تخلیص شده در این مطالعه می‌توانند جهت انجام مطالعات بیشتر و تولید احتمالی واکسن علیه پاراتوبرکلوزیس مورد استفاده قرار گیرد.

واژه‌های کلیدی: آنتی ژن پیکره، مایکوباکتریوم آویوم زیرگونه پاراتوبرکلوزیس، الکتروفورز.

سپری می‌شود که بازیان‌های اقتصادی فراوانی چون کاهش شیر، کاهش تولید مثل، کاهش وزن و فراوانی رخداد دیگر بیماریها همراه می‌باشد. علاوه بر بازیان‌های اقتصادی برخی از محققین معتقدند ارتباط احتمالی بین باکتری عامل بیماری یون و بیماری کرون انسان وجود دارد (۴). اکثر حیوانات در اوایل زندگی آلوده می‌شوند و راه انتقال عفونت عمده‌راه مدفوعی، دهانی است. باکتری در مدفوع و شیر گاوهای آلوده دفع می‌شود. حتی گاوهای آلوده ممکن است از ۱۸ ماه قبل از بروز علائم بالینی باکتری را دفع کنند و گاوهای مبتلا به فرم بالینی می‌توانند تا 5×10^{12} مایکوباکتریوم آویوم را از طریق مدفوع دفع کنند (۷). پروتئین‌های ترشحی مایکوباکتریوم ابیوم اویوم تحت گونه پاراتوبرکلوزیس در فاز اولیه عفونت به عنوان نشانه‌های اصلی ایمنی در نظر گرفته شده است. پروتئین‌های باکتری در متابولیسم، سنتز دیواره سلولی، ورود و بقاء در ماکروفاژ، بیماری‌زایی یا ایمنی درگیر می‌باشند.

تعداد زیادی از آنتی ژن‌های این باکتری با مایکوباکتریوم آویوم و با واریته مایکوباکتریوم بویس مشترک هستند (۲). این باکتری با سایر گونه‌های مایکوباکتریوم و سایر جنس‌ها همانند نوکاردیا و کورینه باکتر آنتی ژن مشترک در دیواره سلولی دارد. آنتی ژن A به طور اختصاصی برای (MAP) شناسایی شده و توسط سرم دام‌های آلوده تشخیص داده می‌شود. در این مطالعه سه روش کشت میکروبی، فراهم کردن مایع

مقدمه

بیماری یون (Johne) یا پاراتوبرکلوزیس نوعی آنترتیت گرانولوماتوزی مزمن می‌باشد که توسط باکتری مایکوباکتریوم آویوم تحت گونه *Mycobacterium avium* subsp. *paratuberculosis* (MAP) ایجاد می‌شود (۱۱). MAP یک باکتری اسیدوفست کوچکتر از باسیل سل و بسیار کندرشد (۲، ۱۳) است که معمولاً در یافته‌ها و مدفوع به صورت مجتمع مشاهده می‌شود و هر توده حاوی تعداد بسیار زیادی از این باکتری می‌باشد. این وضعیت استقرار به شناسایی باکتری کمک می‌کند این باکتری به شدت مقاوم به اسید و الکل می‌باشد و فاقد کپسول یا اسپور بوده و پاتوژن داخل سلولی اختباری است. خاصیت اسید فست بودن باکتری مربوط به وجود مقدار زیادی لیپید (۶۰٪) در دیواره باکتری است، در لیپید دیواره مومنهای ریقی همراه با گلیکولیپیدها وجود دارد. بیماری یون شیوع بالائی در سراسر دنیا دارد و براساس مطالعات انجام گرفته کشور مانیز در زمرة مناطق با شیوع بالاست که منجر به ایجاد هرزینه‌های جبران ناپذیر بر وضعیت دامپزشکی ایران شده است. این بیماری از عوامل مهم مرگ و میر در نشخوارکنندگان به خصوص گاو می‌باشد (۶، ۷). این بیماری در کشورهای در حال توسعه اندمیک است (۴، ۵) از زمان آلودگی تا بروز نشانه‌های بالینی مدت زمان قابل توجهی



باکتری رشد یافته در بن ماری 100°C به مدت ۲ ساعت قرار گرفتند. سپس برای تهیه عصاره سلولی محلول حاوی آنتی زن های باکتری دو بار با محلول نمکی سالین حاوی توئین ۲۰٪ سستشو داده شدند. در هر مرحله شستشو سانتریفیوژ $10000\times g$ دور به مدت ۱۵ دقیقه انجام گرفت. سپس باکتری ها توزین شدند تا به ازای هر گرم باکتری Tris-HCl، ۱mL (pH=7/5) اضافه شود، باکتری ها پس از ۱۰ دقیقه در Tris-HCl کشته شدند در مرحله بعد به مدت ۱۵ دقیقه سونیکاکسیون در دمای 40°C انجام گرفت و پس از سونیکاکسیون به مدت ۱۵ دقیقه در دمای 20°C ، سانتریفیوژ به مدت ۳۰ دقیقه در دور $10000\times g$ انجام گرفت. محلول حاوی عصاره سلولی از صافی میلی پور م $45/0.45$ عبور داده شد، در مرحله آخر دیالیز شیرابه استریل برای جداسازی املأح و مولکول های کوچک اضافه و تعویض محیط بافری محلول پروتئینی به مدت ۲۴ ساعت انجام گرفت (30°C).

الکتروفورز پروتئین: نمونه تهیه شده روی ژل SDS-PAGE شود و کنار آن از سایز مارکر prestain Biorad جهت تعیین وزن مولکولی استفاده شد ($90-120^{\circ}\text{C}$).

نتایج

نمونه تصفیه شده کشت میکروبی مورد سنجش پروتئینی قرار گرفت، بدین منظور از روش لوری استفاده شد (10°C). در این روش از یک پروتئین معلوم به عنوان استاندارد استفاده می شود و سپس مقادیر پروتئین نمونه های مجھول با استفاده از منحنی استاندارد تعیین می گردد. میزان پروتئین تصفیه شده حاصل از کشت میکروبی به روش لوری $45/65\text{ mg/ml}$ بود.

نمونه حاصل از کشت میکروبی پس از استخراج DNA و انجام عملیات PCR جهت ثبوت و تائید باکتری روی ژل آگارز برده شد و پس از رنگ آمیزی با ایتیدیوم تحت لامپ UV مشاهده شدند که نتایج حاصل از محصول PCR در تصویر انشان داده شده است.

نتایج حاصل از الکتروفورز SDS-PAGE نمونه پیکره باکتری در تصویر ۲ نشان داده شده است که شامل ۱۲ باند پروتئینی با وزن های kDa ۱۱۵، ۹۸، ۹۷، ۷۷، ۷۵، ۵۳، ۴۵، ۴۷/۵، ۵۳، ۳۵، ۲۵، ۲۴، ۱۷ می باشد.

بحث

باکتری مایکروبیکتریوم پاراتوبرکلوزیس یک باکتری کند رشد است که عامل بیماری یون می باشد، شناسائی آنتی زن های پیکره باکتری و چداسازی آنها می تواند در پهینه سازی روش های تشخیص بیماری و یا تولید واکسن مناسب کمک کننده باشد.

Gumber و همکاران در سال ۲۰۰۷، پروتئین های مایکروبیکتریوم آبیوم زیر گونه پاراتوبرکلوزیس را با استفاده از بافرهای لیزر کننده مختلف جدا نمود و مقایسه ای بین روش های مختلف انجام دادند و با استفاده از ژل

تصفیه شده کشت میکروبی برای تهیه آنتی زن های مایع کشت و آنالیز SDS-PAGE برای استخراج آنتی زن های باکتری مورد استفاده قرار گرفت.

مواد و روش کار

کشت میکروبی: سویه استاندارد III-V در شرایط استریل به محیط میدل بروک ۷H که با 2 mg/ml مایکروبیکتین غنی شده بود تلقیح شد. پس از کشت باکتری در دمای 37°C آنکوپه شد سپس جهت عادت دادن باکتری به محیط مایع فاقد پروتئین از محیط دوفازی سیب زمینی و دوروس هنلی استفاده شد و پس از ایجاد پرده به آرامی پرده به مایع دورسه هنلی انتقال داده شد. احتمال غرق شدن باکتری زمانی که باکتری مستقیم به محیط مایع انتقال داده می شود، افزایش خواهد یافت، بنابراین می توان نتیجه گرفت که انتقال به محیط سیب زمینی احتمال رشد باکتری را به دلیل شناور ماندن پرده رشد یافته از باکتری در سطح بیشتر می کند. از باکتری که به رشد ایستایی رسید و پس از تشکیل پرده یکنواخت روی سطح محیط به منظور تولید انبوه در شرایط استریل در ظروف کشت الیتری فرنباخ حاوی محیط دور سه هنله کشت مجدد تهیه شد و در آنکوباتور 37°C به مدت ۳ ماه قرار گرفت. در طی این مدت جهت حصول اطمینان از چگونگی رشد باکتری و حذف محیط های آلوده به شکل منظم مورد ارزیابی قرار گرفتند. پس از اتمام دوره رشد گسترش میکروبی تهیه و توسط رنگ آمیزی ذیل نیلسون اسید فست بودن و یکنواختی کشت تائید شد و برای تائید باکتری کشت یافته از روش PCR استفاده شد (8°C). بدین منظور DNA باکتری به روش ایزو آمیل الکل و کلروفرم استخراج گردید. واکنش زنجیره ای پلیمراز: برای تائید قطعه IS900 در رژیم باکتری مایکروبیکتریوم آبیوم تحت گونه پاراتوبرکلوزیس رشد یافته از دو پرایمر اختصاصی P90 و P91 با سکانس های زیر استفاده شد.

P90: ۵'-GTTCGGGGCC GTCGCTTAGG -3'

P91: ۵'-GAGGTCGATC GCCACGTGA -3'

MgC12 ۱μl, (PH=8.4) Tris- H Cl 20mM, KCL 50Mm

پرایمر، ۲ واحد DNA پلیمراز Taq و DNA 100ng الگوو برنامه PCR به شکل زیر جراحت است:

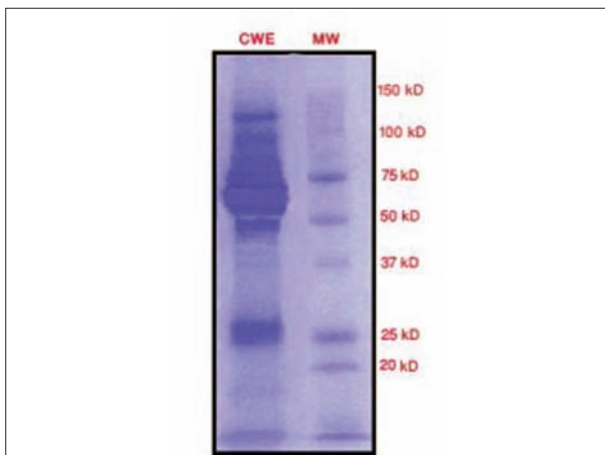
$65^{\circ}\text{C}/1', 94^{\circ}\text{C}/40', 94^{\circ}\text{C}/1'$ (مرحله و اسرشتگی اولیه)، $35^{\circ}\text{C}/40':$

و $72^{\circ}\text{C}/1'$ (مرحله گسترش نهایی).

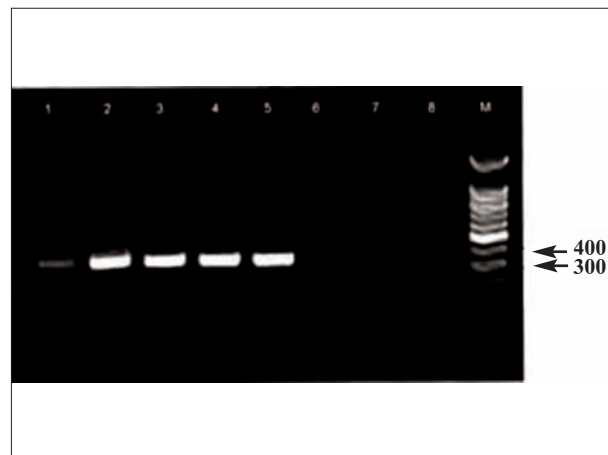
پس از اتمام واکنش، محصولات PCR در ژل ۱% آگارز الکتروفورشند و پس از رنگ آمیزی با ایتیدیوم بروماید، ژل تحت اشعه UV بررسی شد. اندازه محصول PCR با جفت پرایمر P90/P91 ۴۰۰ bp جفت باز (bp) می باشد. از آب مقطر استریل به جای DNA به عنوان کنترل منفی واZ MAP تایید شده به عنوان کنترل مثبت استفاده شد.

فیلتر نمودن مایع کشت باکتریائی: جهت تهیه مایع تصفیه شده کشت میکروبی ابتدا باکتری پاراتوبرکلوزیس را باشد.





تصویر ۲- عکس از ژل الکتروفورز پروتئین (SDS-PAGE) در مایکوباتریوم آویوم تحت گونه پاراتوبرکلوزیس (از راست به چپ) سایز مارکر و نمونه پروتئین پیکره مایکوباتریوم می‌باشد که پروتئین پیکره شامل باندهای با وزن kDa ۷۷، ۹۸، ۱۱۵، ۴۵، ۴۷/۵، ۵۳، ۶۹/۵، ۷۵، ۳۴، ۳۵، ۲۵، ۱۷ می‌باشد.



تصویر ۱- تصویر ژل الکتروفورز مربوط به PCR با جفت پرایمرهای P90/P91 در این تصویر دیف ۱ (از چپ به راست) (سایز مارکر) ۱۰۰ bp (به ترتیب از بالا به پایین شامل باندهای با اندازه ۳۰۰۰، ۳۰۰، ۲۰۰۰، ۱۵۰۰، ۱۰۳۱، ۱۲۰۰، ۹۰۰، ۵۰۰، ۶۰۰، ۷۰۰، ۸۰۰، ۹۰۰، ۴۰۰، ۳۰۰، ۲۰۰ و ۱۰۰ جفت باز) در همه دیف‌های محصول ۴۰۰ bp مربوط به جفت پرایمر P90/P91 مشاهده می‌شود.

SDS-PAGE پروتئین‌های جدا شده را باهم مقایسه نمودند (۵).

در سال ۲۰۰۸، ۱۸ پروتئین از مایکوباتریوم آویوم زیر گونه پاراتوبرکلوزیس توسط P.Bannantine به صورت نوترکیب ساخته شدند و از آن در تهیه کیت الایزا جهت تشخیص استفاده شد (۱).

Gumber و همکاران در سال ۲۰۰۹، ۵ پروتئین از این باکتری را به روش SDS-PAGE نوترکیب تهیه نمودند و پروفایل پروتئین‌هاروی ژل ۷/۱۲ نشان دادند و از آنها جهت طراحی سیستم الایزا جهت تشخیص بهره گرفتند (۶).

در این تحقیق دیواره باکتری مایکوباتریوم آویوم زیر گونه پاراتوبرکلوزیس با استفاده از سونیکاسیون تخریب شدند و پس از دیالیز روی ژل ۱۲/۵% SDS-PAGE برده شدند و ۱۲ باند پروتئینی پیکره باکتری شناسائی شدند.

در بررسی‌های بعدی می‌توان پروتئین‌های ایمونودومیننت را شناسائی نمود و با جداسازی آنها با روش الکترووالوشن از آنها در تهیه کیت‌های تشخیصی و همچنین تولید واکسن بهره برد.

تشکر و قدردانی

نویسنده‌گان مقاله بر خود لازم می‌دانند که از اعضای محترم بخش بیوشمی، پروتئومیکس و بخش توبرکولین موسسه تحقیقات و اکسن و سرم‌سازی رازی به سبب همکاری ارزشمندشان تقدیر و تشکر نمایند.

References

1. Bannantine, J.P., Rosu, V., Zanetti, S., Rocca, S., Ahmed, N., Sechi, L.A. (2008) Antigenic profiles of recombinant proteins from *Mycobacterium avium* subsp. *paratuberculosis* in sheep with Johne's disease. *Vet. Immunol. Immunopathol.* 122:116-25.
2. Clarke, C.J. (1997) The pathology and pathogenesis of *paratuberculosis* in ruminants and other species. *J. Comp. Pathol.* 116: 217-261.
3. De Kesel, M., Gilot, P., Coene, M., Cocito, C. (1992) Composition and Immunological properties of the protein fraction of A36, a major antigen complex of *Mycobacterium paratuberculosis*. *Scand. J. Immunol.* 36: 201-12.
4. Dunn, M.J. (2004) Protein purification protocols. *Methods mol. biol.* 244: 339-343, Doi: 10.1385/1-59252.
5. Gumber, S., Taylor, D.L., Whittington, R.J. (2007) Protein extraction from *Mycobacterium avium* subsp. *paratuberculosis*: Comparison of methods for analysis by sodium dodecyl sulphate polyacrylamide gel electrophoresis, native PAGE and surface enhanced laser desorption/ionization time of flight mass spectrometry. *J. Microbiol. Methods.* 68: 115-127.
6. Gumber, S., Taylor, D.L., Whittington, R.J. (2009)



- Evaluation of the immunogenicity of recombinant stress-associated proteins during *Mycobacterium avium* subsp. *paratuberculosis* infection: Implication for pathogenesis and diagnosis. Vet. Microbiol. 137: 290-296.
7. He, Z., De Buck, J. (2010) Localization of proteins in the cell wall of *Mycobacterium avium* subsp. *paratuberculosis* K10 by proteomic analysis. Proteome Sci. 8: 21-25.
 8. Kumanan, V., Nugen, S.R., Baeumner, A.J., Chang, Y.F. (2009) A biosensor assay for the detection of *Mycobacterium avium* subsp. *paratuberculosis* in fecal samples. J. Vet. Sci. 10: 35-42.
 9. Laemmli, U.K. (1970) Cleavage of structural proteins during assembly of the head of bacteriophage T4. Nature. 227: 680-685.
 10. Loewry, O.H., Rosebrought, N.J., Farr, A.L., Randall, R.J. (1951) Protein measurement with the folin phenol reagent. J. Biochem. Chem. 193: 265-275.
 11. Romano, M.I., Amadio, A., Bigi, F., Klepp, L., Etchechoury, I., Noto Liana, M., et al. (2005) Further analysis of VNTR and MIRU in the genome of *Mycobacterium avium* complex, and application to molecular epidemiology of isolates from south America. Vet. Microbiol. 110: 221-237.
 12. Schuhmacher, M., Glocker, M.O., Wunderlin, M., Przybylski, M. (1996) Direct isolation of proteins from sodium dodecyl sulphate polyacrylamide-gel electrophoresis and analysis by electrospray-ionization mass spectrometry. Electrophoresis. 17: 848-854.
 13. Sung, N., Collins, M.T. (2003) Variation of resistance of *Mycobacterium paratuberculosis* to acid environment as a function of culture medium. Appl. Environ. Microbiol. 69: 6833-6840.



Detection of somatic antigens in *Mycobacterium avium* subspecies *paratuberculosis*

Madani, R.^{1*}, Azadeh, Sh.², Mosavari, N.³, Jafarpour, M.², Golchinfar, F.¹, Emami, T.¹, Keshavarz, R.³

¹*Department of Biochemistry and Proteomics, Razi Vaccine and Serum Research Institute, Karaj-Iran.*

²*Department of Microbiology, Islamic Azad University of Tonkabon, Tonkabon- Iran.*

³*Department of Tuberculin, Razi Vaccine and Serum Research Institute, Karaj- Iran.*

(Received 15 February 2012 , Accepted 15 May 2012)

Abstract:

BAKGROUN: Johne's disease or Paratuberculosis as a chronic granulomatosis enteritis in ruminants will be caused by *Mycobacterium avium* subsp. *Paratuberculosis*. Detecting whole bacterial cell wall antigens would be helpful in potential applications for diagnosis, vaccine production, and elucidation of pathogenesis. **OBJECTIVES:** To determine secreted somatic cell antigens of *Mycobacterium avium* subspecies *Paratuberculosis*. **METHODS:** Standard strain (III-V) of *Mycobacterium avium* subspecies *Paratuberculosis* DNA was extracted from the cultured and gene analysis was done using PCR to confirm bacterial purity. On the other hand, protein concentrations in both media and cell extracts were determined. Furthermore, all proteins pattern were shown by SDS-PAGE. **RESULTS:** Electrophoretic findings showed some somatic antigens in the range of 19-100 KDa. **CONCLUSIONS:** These purified somatic antigens can be used for further study and potential application in vaccine production.

Key words: *Mycobacterium avium* subspecies *Paratuberculosis*, antigen, electrophoresis.

Figure Legends and Tabel Captions

Figure 1. Gel electrophoresis for PCR product Lane1, size marker 100 bp from top to bottom (3000, 2000, 1500, 1200, 1031, 900, 800, 700, 600, 500, 400, 300, 200 and 100bp). Other lanes show PCR product with 400 bp.

Figure 2. Protein gel electrophoresis (SDS-PAGE) for *Mycobacterium Paratuberculosis*. lane 1, size marker, other lanes show whole cell bacterial proteins (115, 98, 77, 69.75, 53, 47.5, 45, 35, 34, 25 and 17 KDa).



*Corresponding author's email: mr_madani@yahoo.com, Tel: 026-34570038, Fax: 026-34552194